

京都大学大学院 学生員 松井健一
 京都大学工学部 正員 岩佐義朗
 広島大学工学部 正員 細田 尚

1. はじめに； 本研究は、二次元Jetの相似領域での、 λ - ϵ モデルの特性について検討したもので、 U_m 、 b の減衰率、成長率だけでなく乱れエネルギー $\lambda = \frac{1}{2}(\bar{U}^2 + \bar{V}^2)$ 、エネルギー逃散率 ϵ の減衰率も求めた。その結果、 $\lambda \propto x^{-1}$ 、 $\epsilon \propto x^{-5/2}$ となることがわかった。

2. 基礎式； 基礎式はFig-1を参照して

$$\frac{\partial U}{\partial x} + \frac{\partial V}{\partial y} = 0 \quad (1)$$

$$U \frac{\partial U}{\partial x} + V \frac{\partial U}{\partial y} = -\frac{1}{\rho} \frac{\partial P}{\partial x} - \left(\frac{\partial \bar{U}^2}{\partial x} + \frac{\partial \bar{U}\bar{V}}{\partial y} \right) \quad (2)$$

$$U \frac{\partial V}{\partial x} + V \frac{\partial V}{\partial y} = -g - \frac{1}{\rho} \frac{\partial P}{\partial y} - \left(\frac{\partial \bar{U}\bar{V}}{\partial x} + \frac{\partial \bar{V}^2}{\partial y} \right) \quad (3)$$

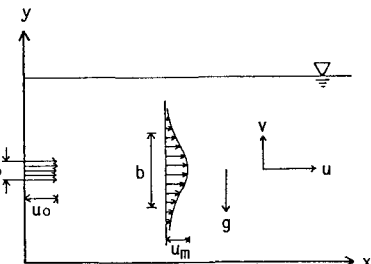


Fig-1

ここで、静水圧分布を仮定し、Jetが十分深く水深の変化が無視できるとき、基礎式は

$$\frac{\partial U}{\partial x} + \frac{\partial V}{\partial y} = 0 \quad (4)$$

$$U \frac{\partial U}{\partial x} + V \frac{\partial U}{\partial y} = -\frac{\partial \bar{U}\bar{V}}{\partial y} \quad (4)$$

となる。

Jetが放出点よりある程度流下すれば、特性量の分布形が相似となることが知られ、そのとき

$$U = U_m f(\eta), \quad -\bar{U}\bar{V} = U_m^2 g(\eta), \quad \eta = y/b$$

とおくと、次元的考察より

$$U_m \propto x^{-1/2}, \quad b \propto x^1 \quad (5)$$

となり、実験的にも十分検証され、たとえば実験式として

$$\frac{U_m}{U_0} = (2.41 \pm 0.04) \left(\frac{b_0}{x} \right)^{1/2}, \quad \frac{b}{b_0} = (0.116 \pm 0.002) \left(\frac{x}{b_0} \right)^1 \quad (6)$$

が提案されている。⁽¹⁾

3. 渗動粘性係数を用いた解析

通常、(1)、(4)式をy方向に積分する一次元解析法が用いられ、その際、表われる連行係数が問題になっている。しかし、有限領域で複雑な外的条件をもつ実際現象には適用が容易でない。そこで、Reynolds応力 $-\rho \bar{U}\bar{V}$ を

$$-\rho \bar{U}\bar{V} = \rho D \frac{\partial U}{\partial y} \quad (7)$$

において、Reynolds応力を、渾動粘性係数Dを用いて閉じる方法が用いられる。D $\propto b U_m$ とおくとJetの挙動が定性的に正しく表わせるが、未知量b、 U_m を含み、実際問題には適用しにくい。ここでは、

$$(I) \quad D = \text{定数}, \quad (II) \quad D = \propto \Delta y^2 (\partial U / \partial y)$$

とおいたときを考え、 $U = U_m f(\eta)$ 、 $\eta = y/b$ とおいて次元的考察を行えば、

$$(I) \quad U_m \propto x^{-1/3}, \quad b \propto x^{2/3}$$

$$(II) \quad U_m \propto x^{-1/6}, \quad b \propto x^{1/3}$$

となり、Jetの挙動を定性的に正しく表わし得ない。ここに、△今は、例えば数値解析を行なったときの格子間隔である。

4. $\lambda - \epsilon$ モデル⁽²⁾

渦動粘性係数を、次元的考察より

$$D = C_\mu \frac{f^2}{\epsilon} \quad (8)$$

と表わし、 λ 、 ϵ について次式を用いるモデルである。

$$\frac{\partial U f}{\partial x} + \frac{\partial V f}{\partial y} = \frac{\partial}{\partial y} \left(\frac{D}{\partial f} \frac{\partial f}{\partial y} \right) + D \left(\frac{\partial U}{\partial y} \right)^2 - \epsilon \quad (9)$$

$$\frac{\partial U \epsilon}{\partial x} + \frac{\partial V \epsilon}{\partial y} = \frac{\partial}{\partial y} \left(\frac{D}{\partial \epsilon} \frac{\partial \epsilon}{\partial y} \right) + C_1 \frac{\epsilon}{f} D \left(\frac{\partial U}{\partial y} \right)^2 - C_2 \frac{\epsilon^2}{f} \quad (10)$$

ここに、 ∂f 、 $\partial \epsilon$ 、 C_1 、 C_2 ；定数。

$$\left. \begin{aligned} U &= U_m f(\eta), \quad f = f_m g(\eta), \quad \epsilon = \epsilon_m h(\eta) \\ U_m &= U_0 (\xi)^P, \quad b_m = b_0 (\xi)^q, \quad f_m = f_0 (\xi)^r, \quad \epsilon_m = \epsilon_0 (\xi)^s, \quad \xi = x/l, \quad l; \text{長さのスケール} \end{aligned} \right\} \quad (11)$$

とおくと、(4) 式から

$$\frac{E_{00} k_0 l}{f_0^2 C_\mu} \xi^{s-2r+P+2q-1} \left\{ P(f^2(\eta) - f'(\eta)) \int_0^\eta f(\eta) d\eta - q f'(\eta) \int_0^\eta f(\eta) d\eta \right\} = \frac{g^2(\eta)}{f(\eta)} f''(\eta) \quad (12)$$

$$\text{となり} \quad P + 2q + s - 2r = 1 \quad (13)$$

を得る。

つぎに、(9) 式に $\int_0^\infty dy$ の積分を行って

$$U_0 f_0 (P+q+r) \xi^{P+q+r-1} \int_0^\infty f(\eta) g(\eta) d\eta = \frac{C_\mu f_0^2 U_0^2}{\epsilon_0 l} \xi^{2P-q+2r-s} \int_0^\infty f'(\eta)^2 d\eta - \epsilon_0 l \xi^{q+s} \int_0^\infty f(\eta) d\eta \quad (14)$$

より

$$P + r - s - 1 = 0, \quad P - q + r - s = 0 \quad (15)$$

が得られる。同様に、(10)式に $\int_0^\infty dy$ の積分を行って、 P 、 q 、 r 、 s に関して (15) 式と同様の式が得られる。 $2P + q = 0$ が成立するから、 P 、 q 、 r 、 s についての四元連立一次方程式となり、その結果

$$\left. \begin{aligned} U_m &\propto x^{-1/2}, \quad b \propto x^{1/2} \\ f_m &\propto x^{-1}, \quad \epsilon_m \propto x^{-5/2} \end{aligned} \right\} \quad (16)$$

となる。(16) 式は、 U_m 、 b に関して Jet の正しい挙動を表わしている。さらに、乱流構造の特性量である乱れエネルギー、エネルギー送散率の減衰率も得られた。

5. おわりに； 今後、 f_m 、 ϵ_m の減衰について実験的に検討したい。

参考文献

- (1) Fischer, Imberger, Koh, List, Brooks ; Mixing in Inland and Coastal Water, Academic Press, 1979
- (2) Kollmann ; Prediction Methods for Turbulent Flows